

**Fig. 1**  
*Prior art*

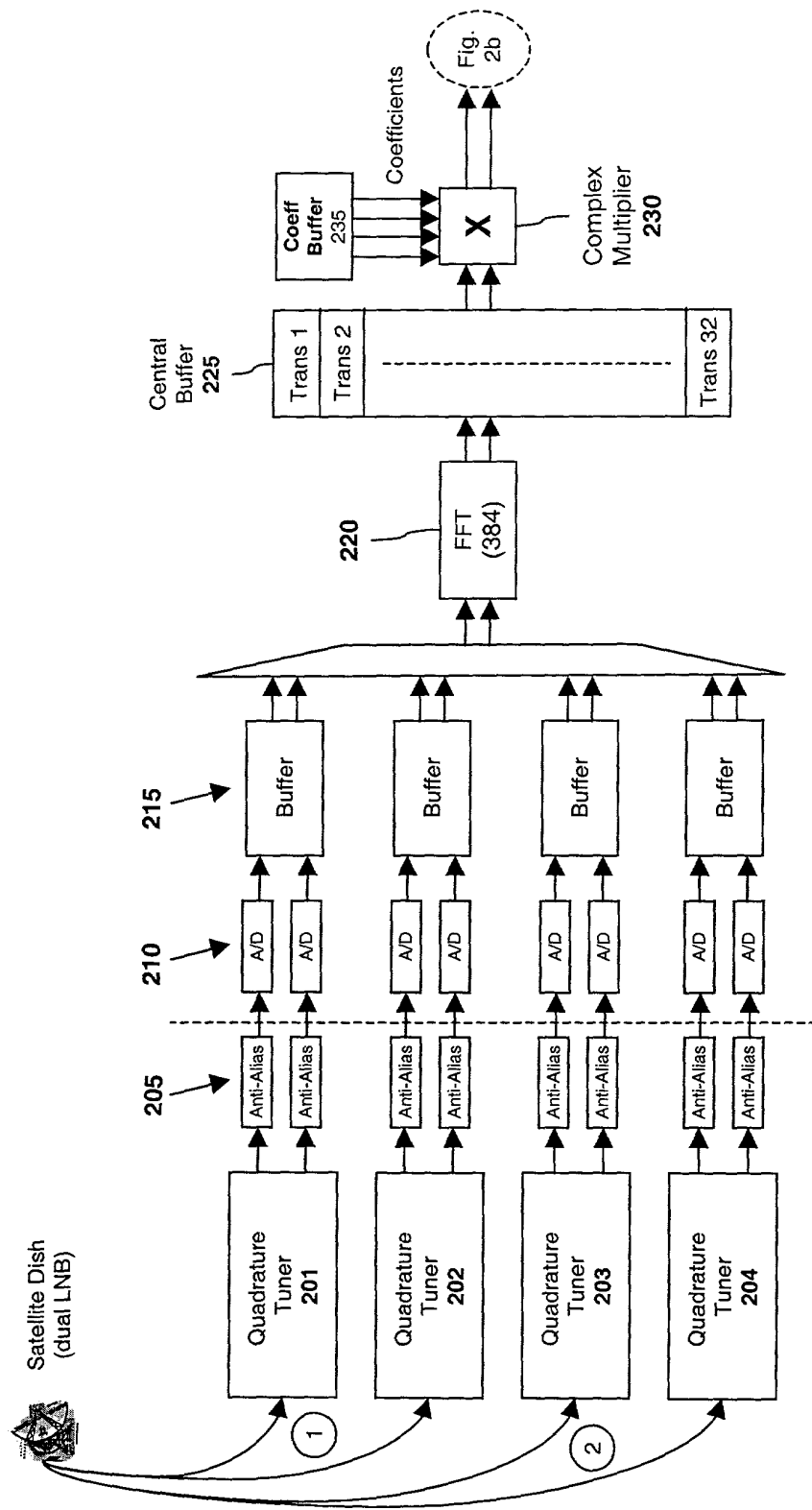
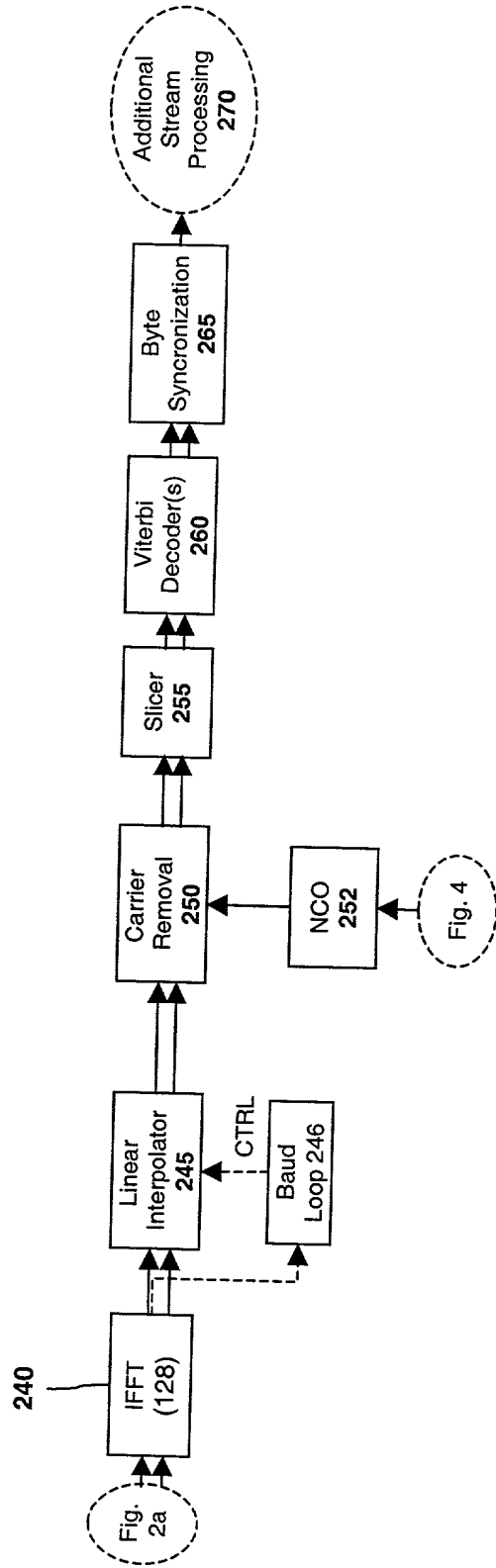


Fig. 2a



**Fig. 2b**

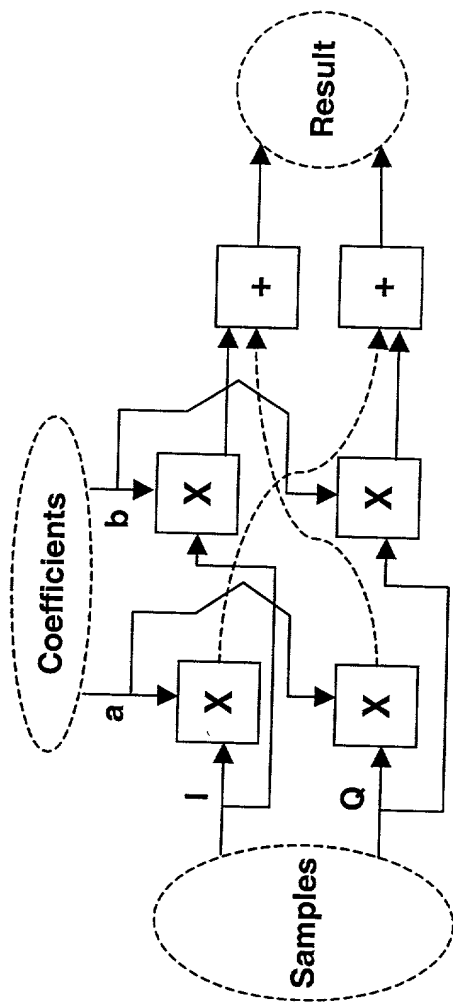


Fig. 3a

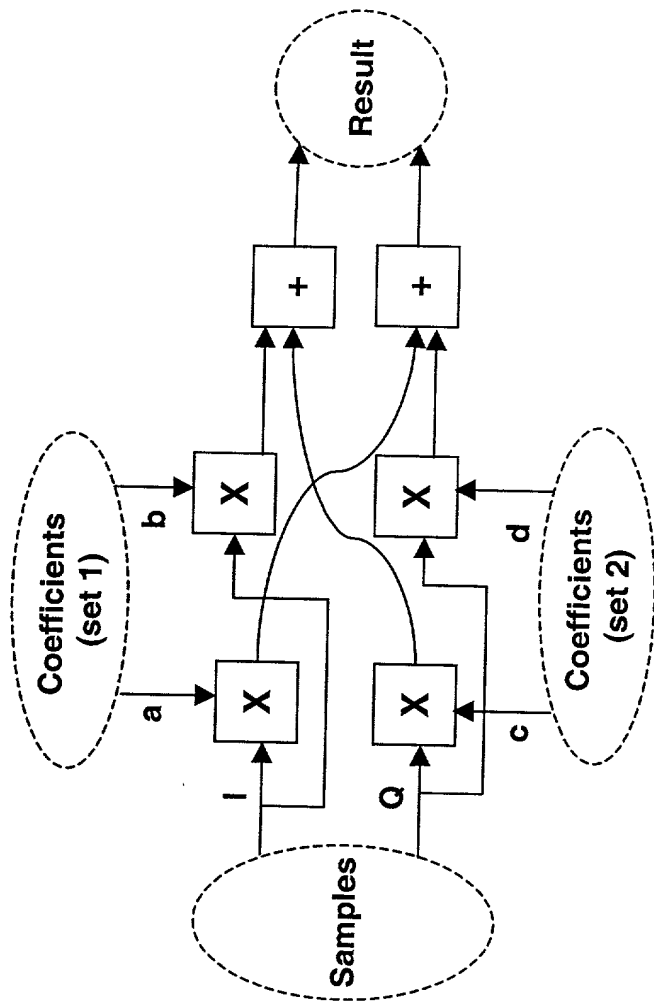
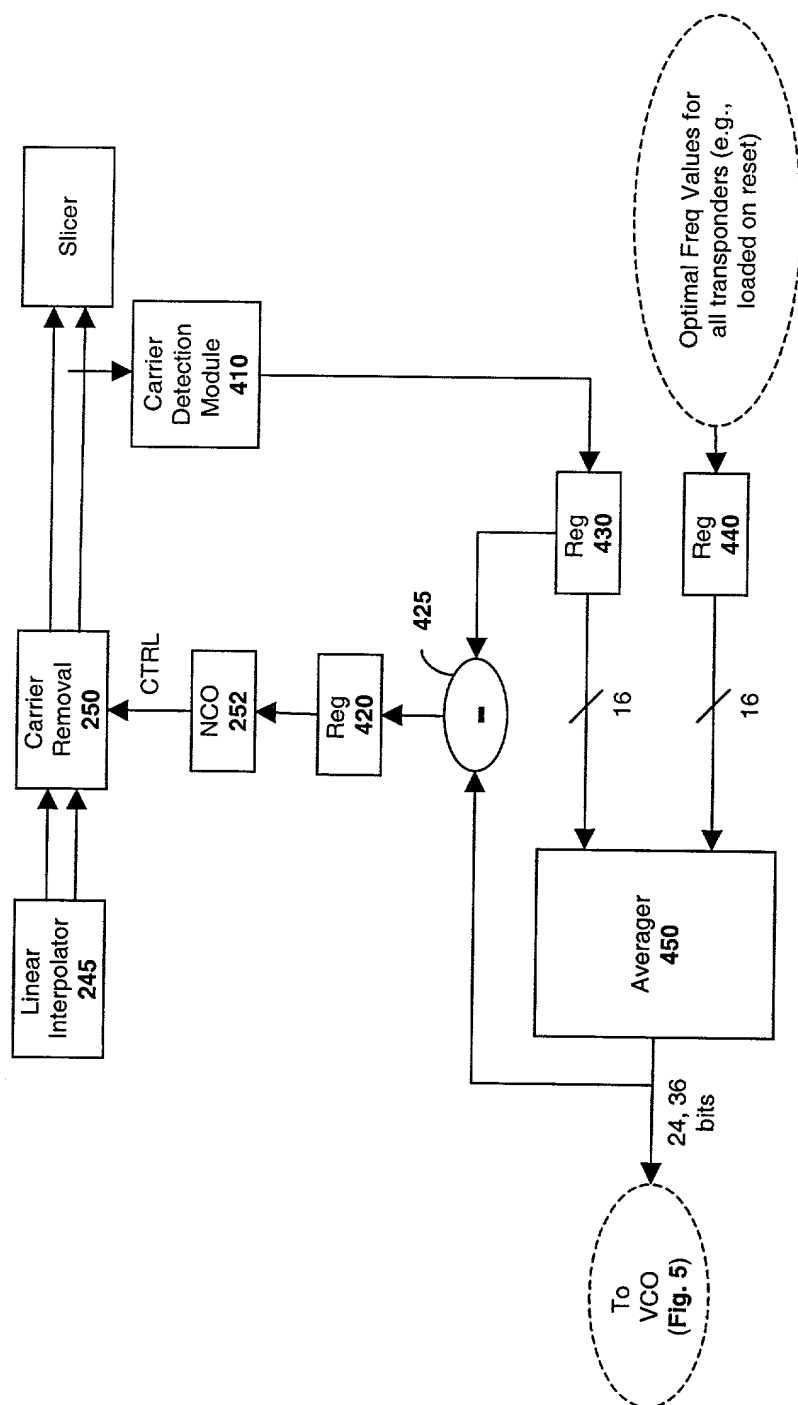
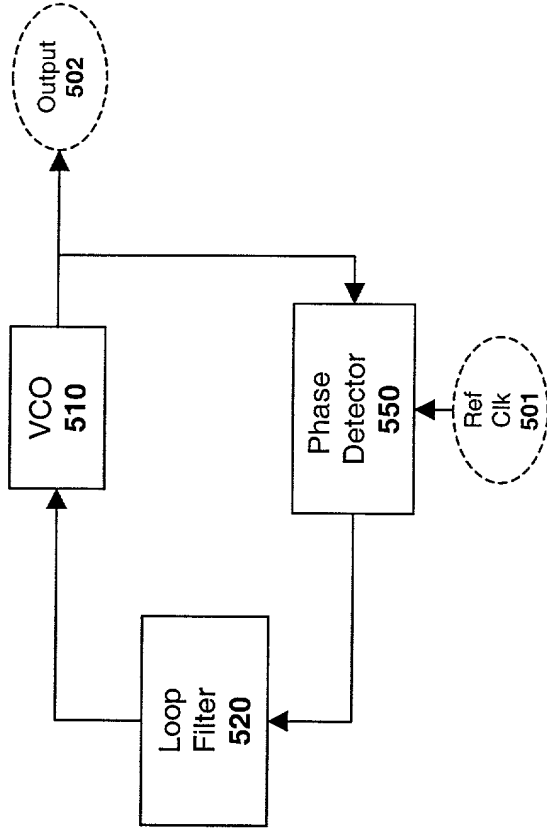


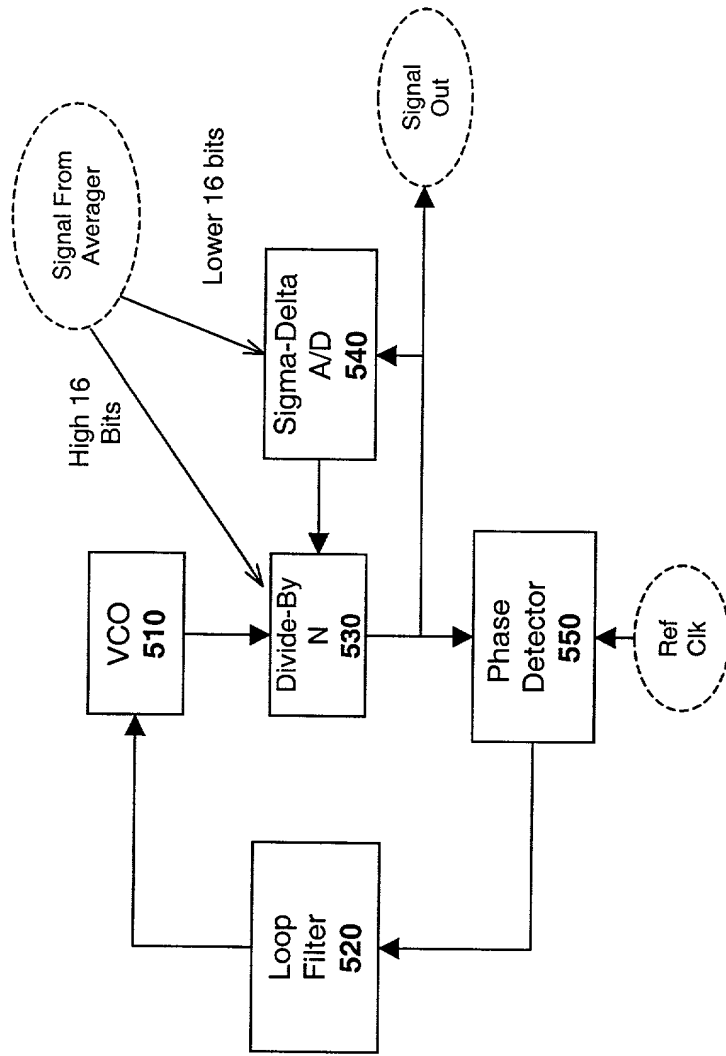
Fig. 3b



**Fig. 4**

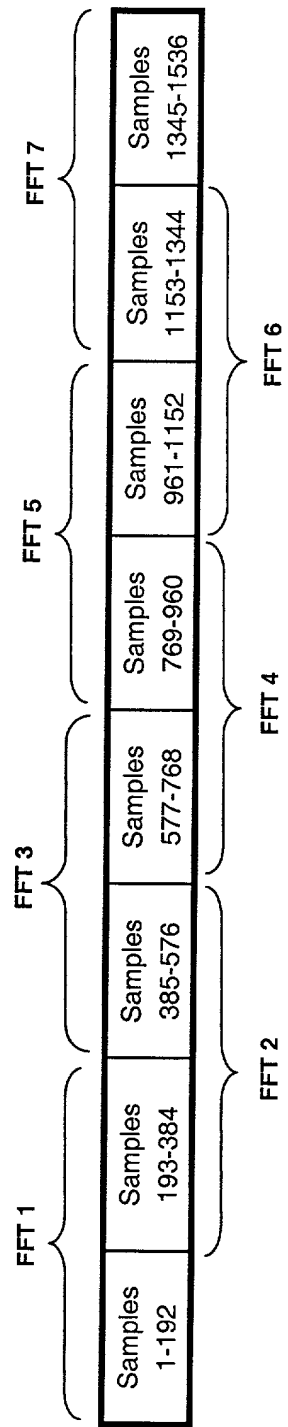


**Fig. 5a**



**Fig. 5b**





**Fig. 6**  
FFT Input Data

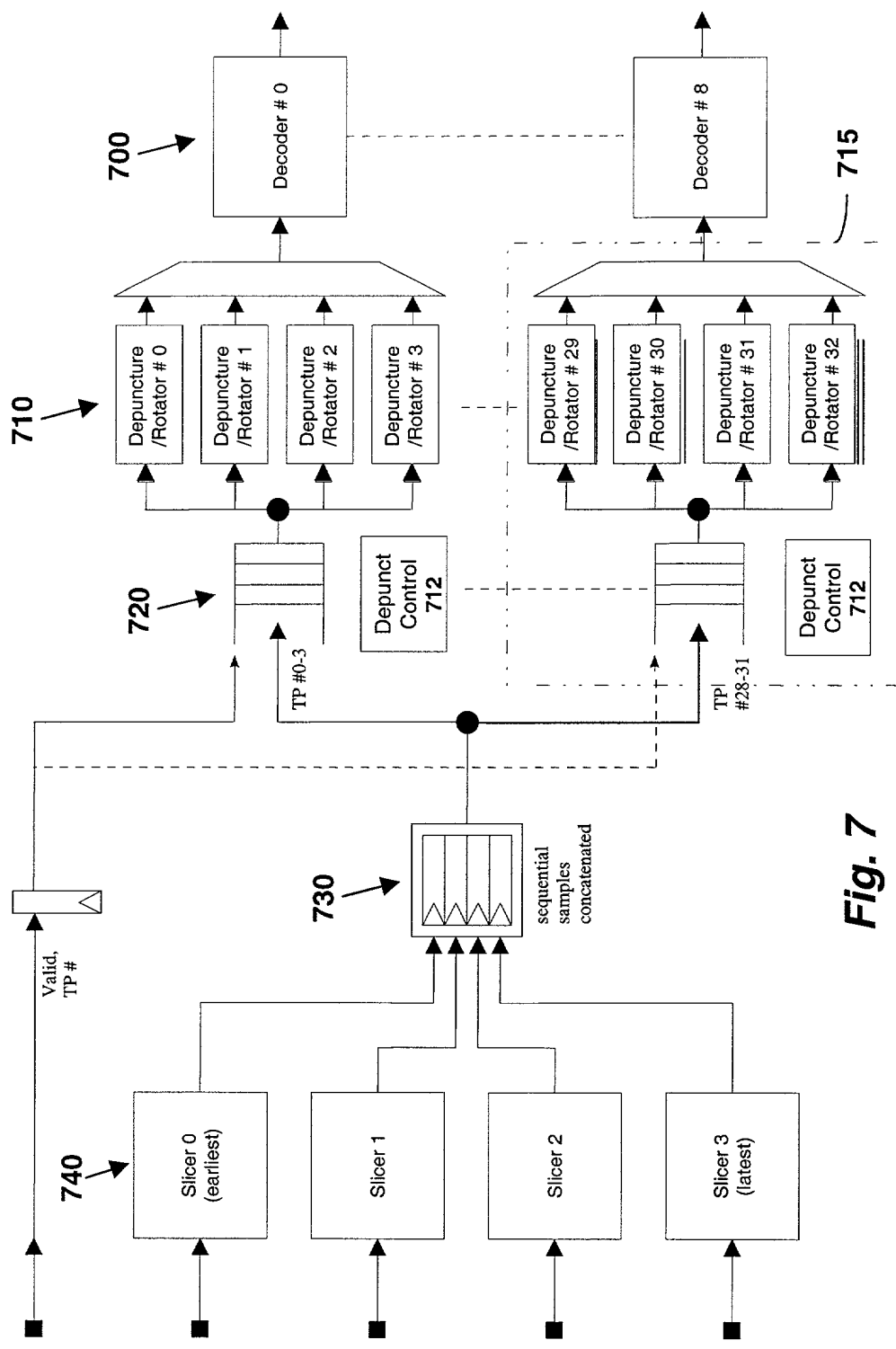


Fig. 7

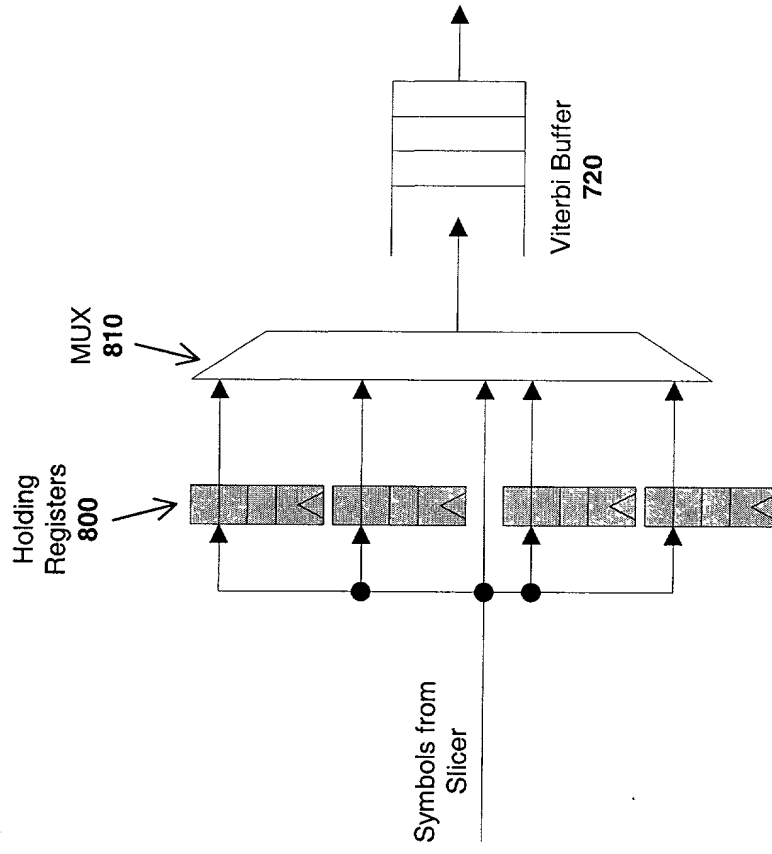


Fig. 8

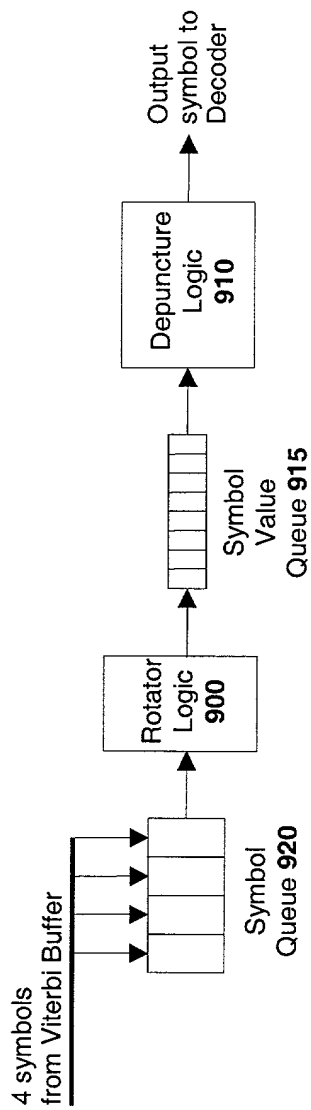


Fig. 9

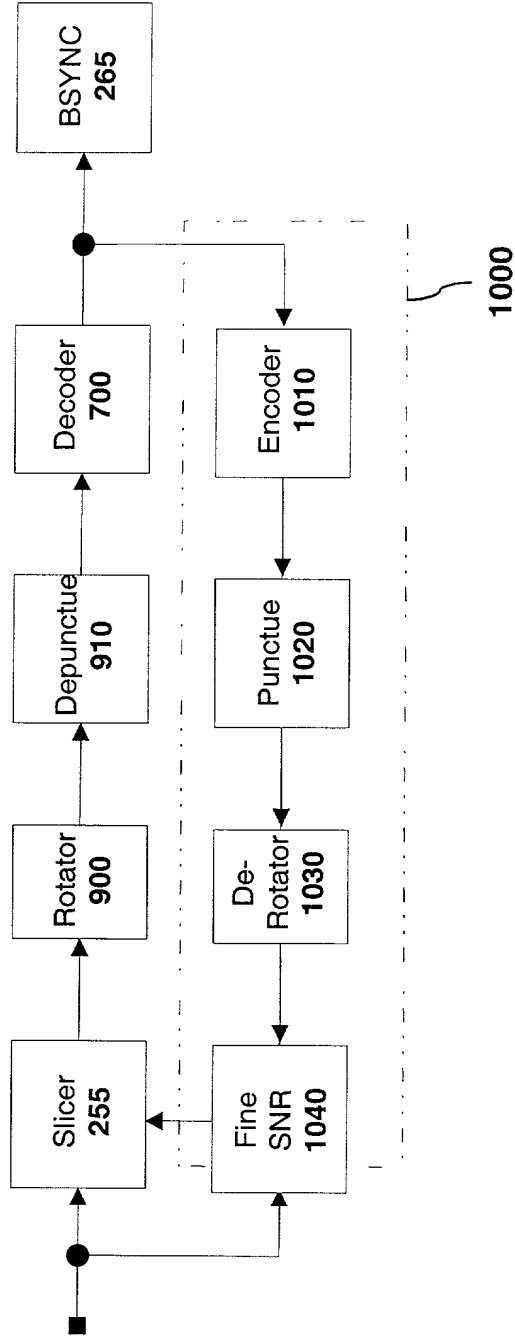
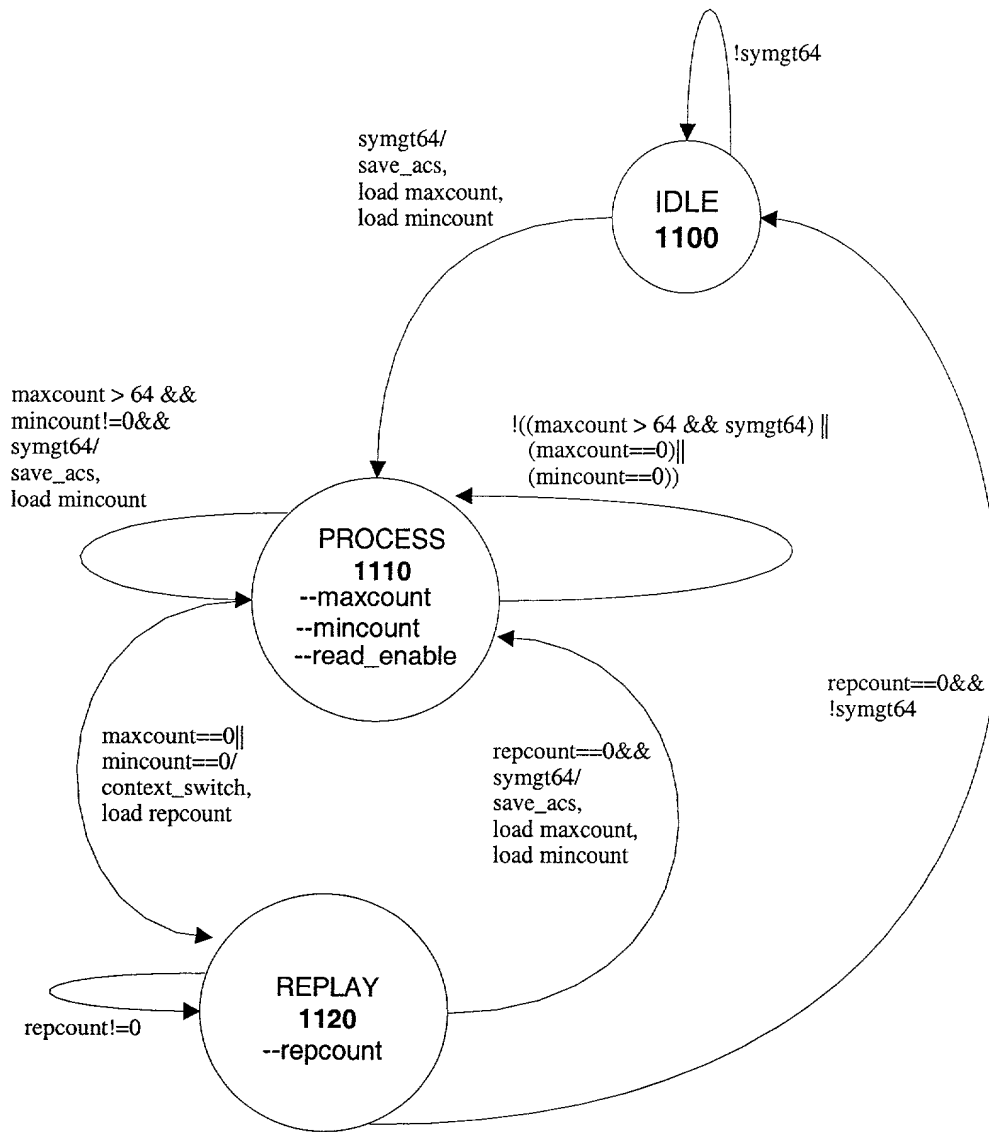


Fig. 10



**Fig. 11**

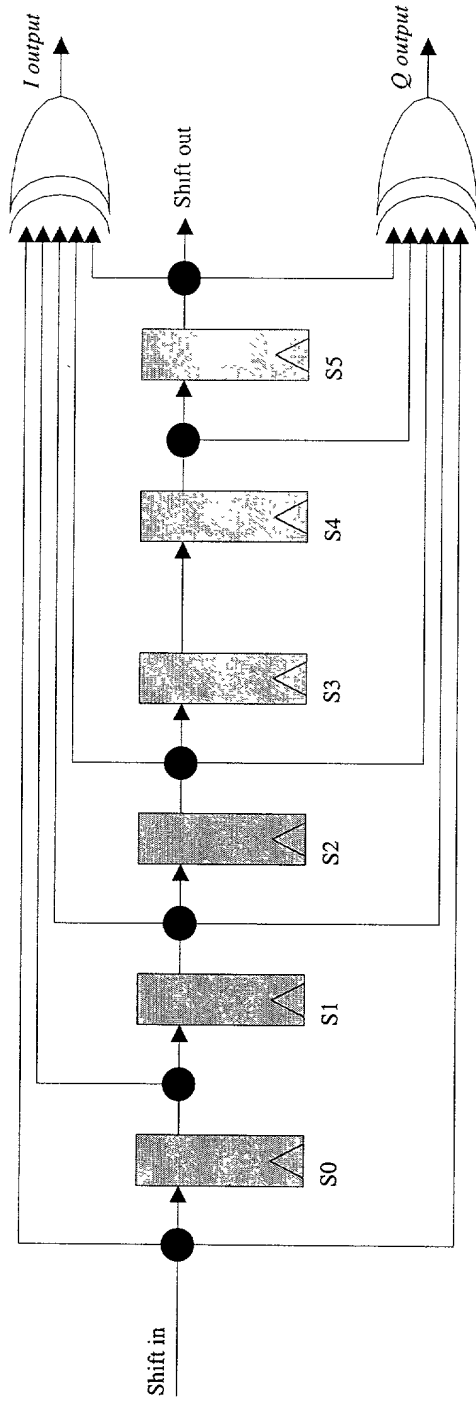


Fig. 12

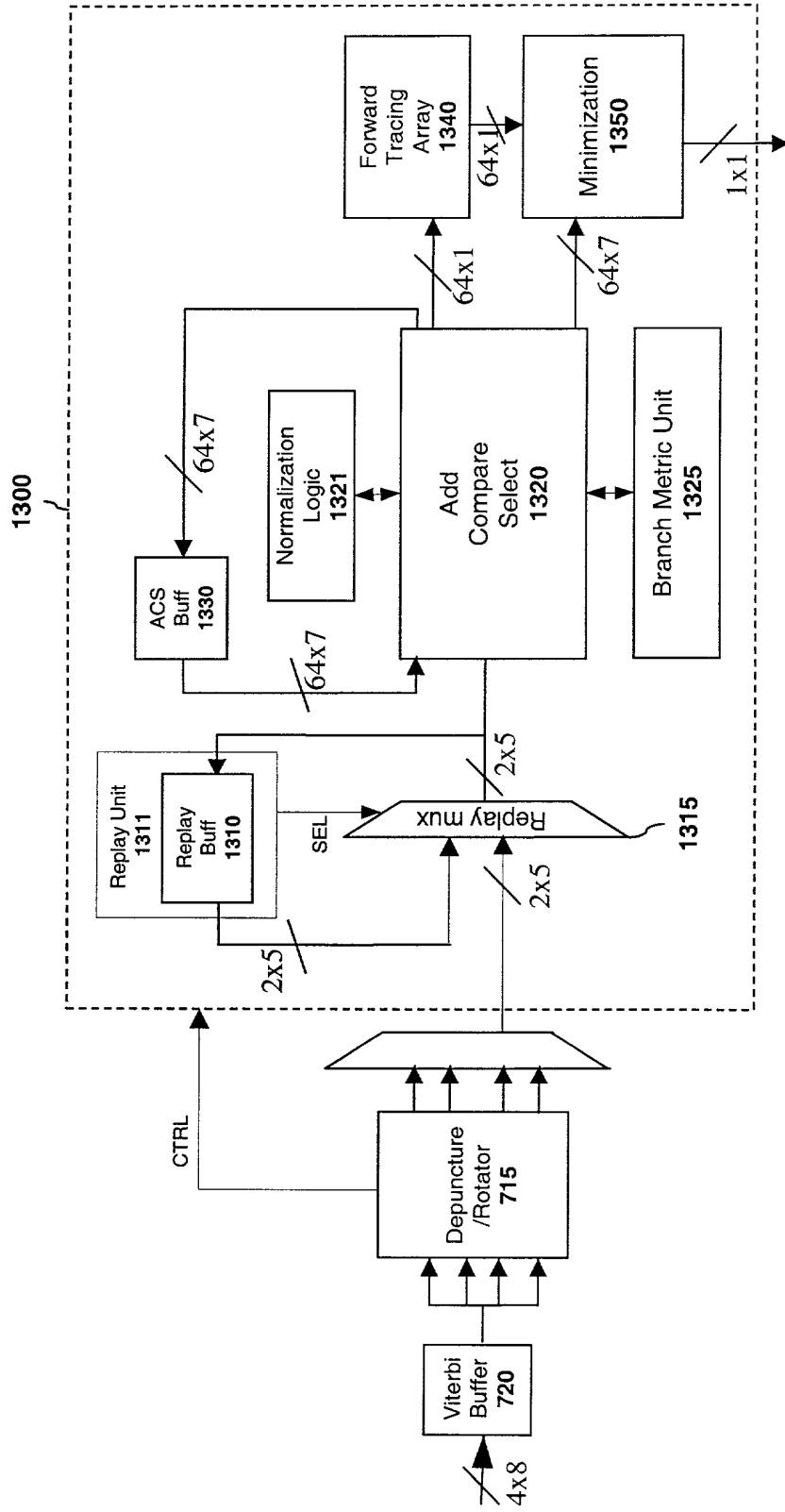
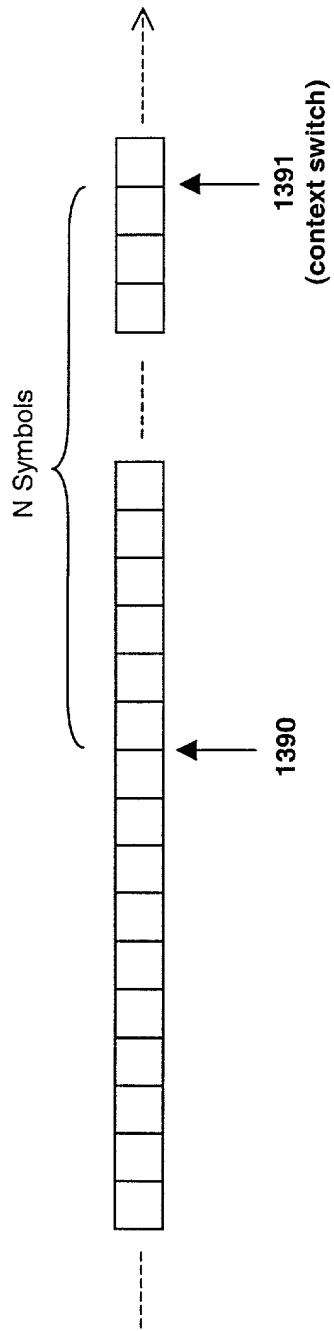


Fig. 13a





**Fig. 13b**

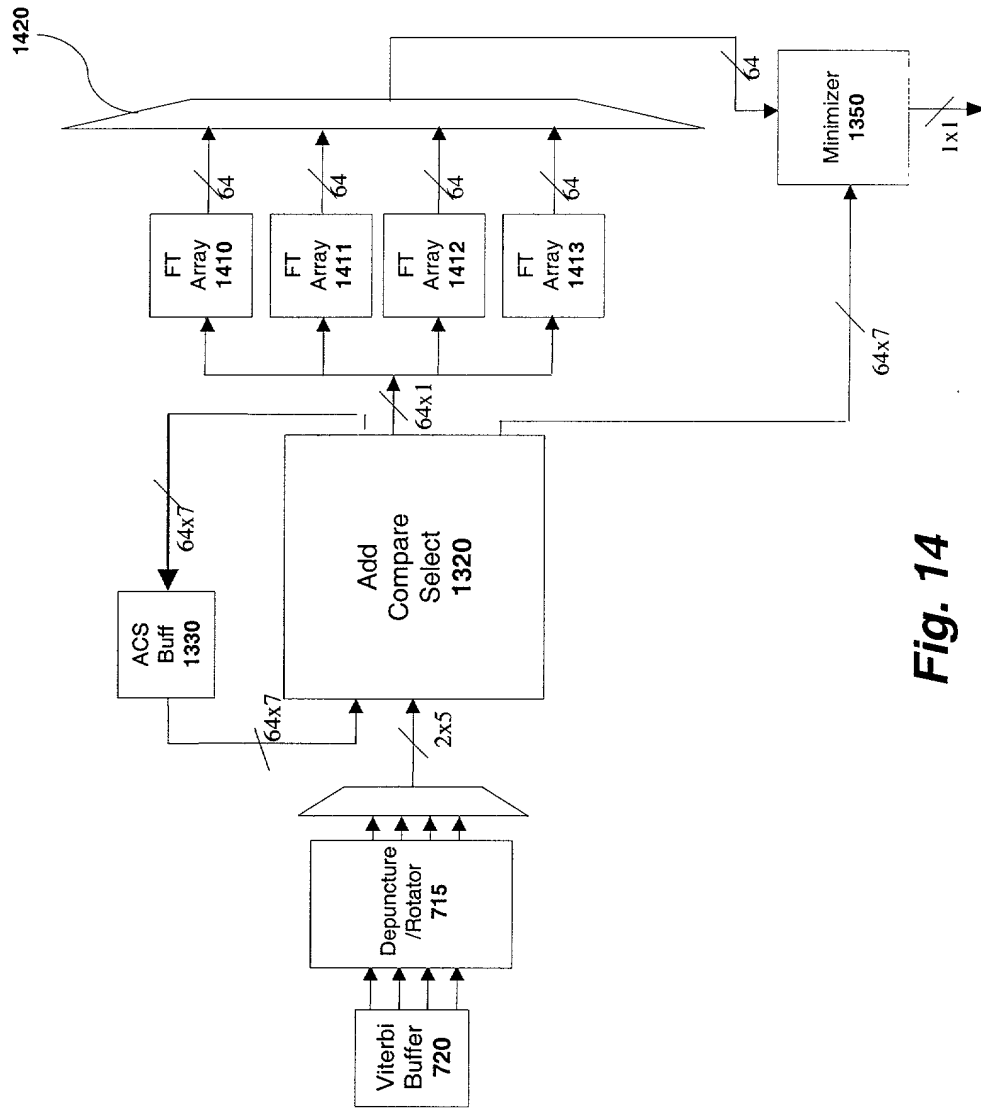


Fig. 14

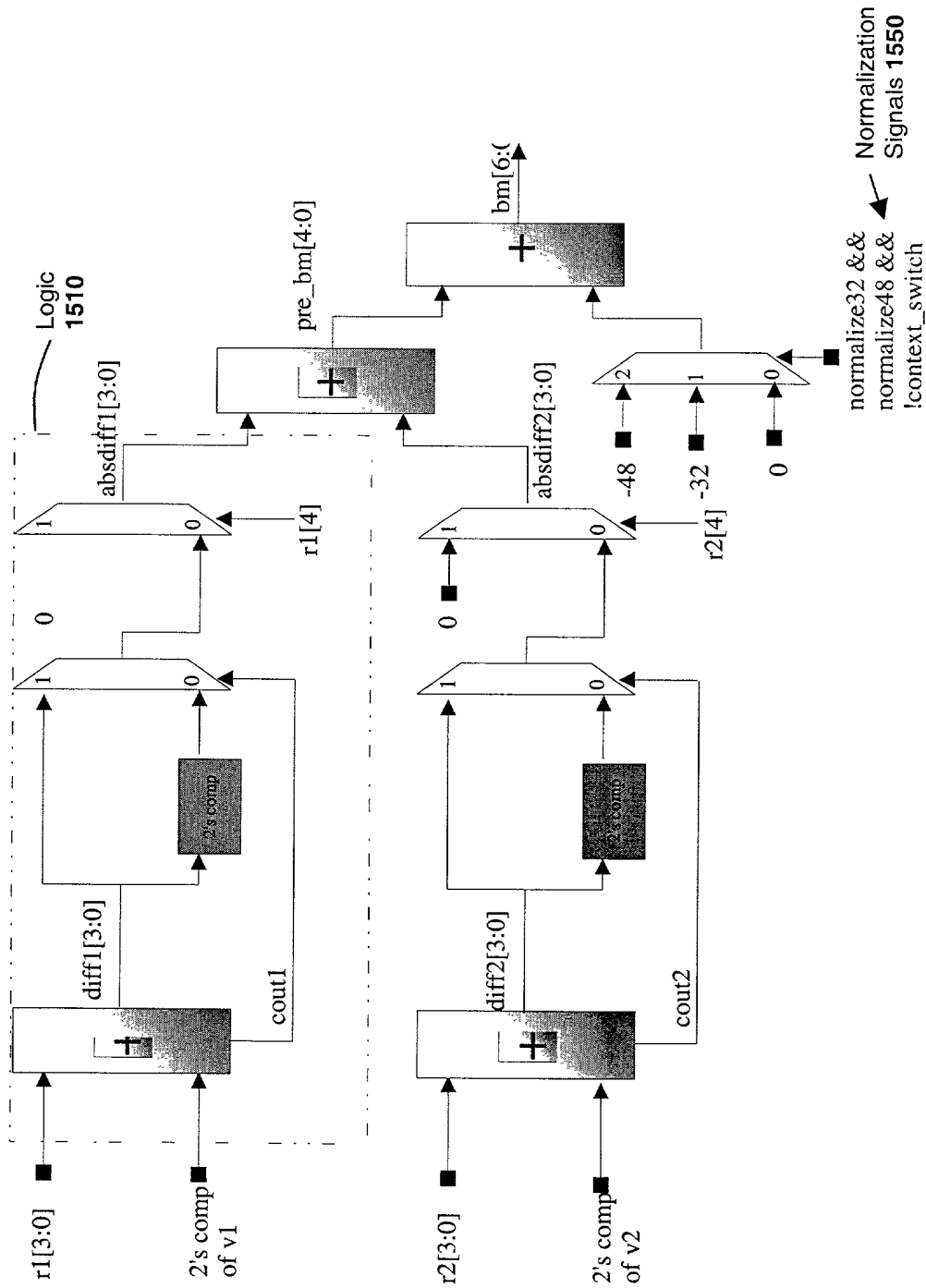


Fig. 15

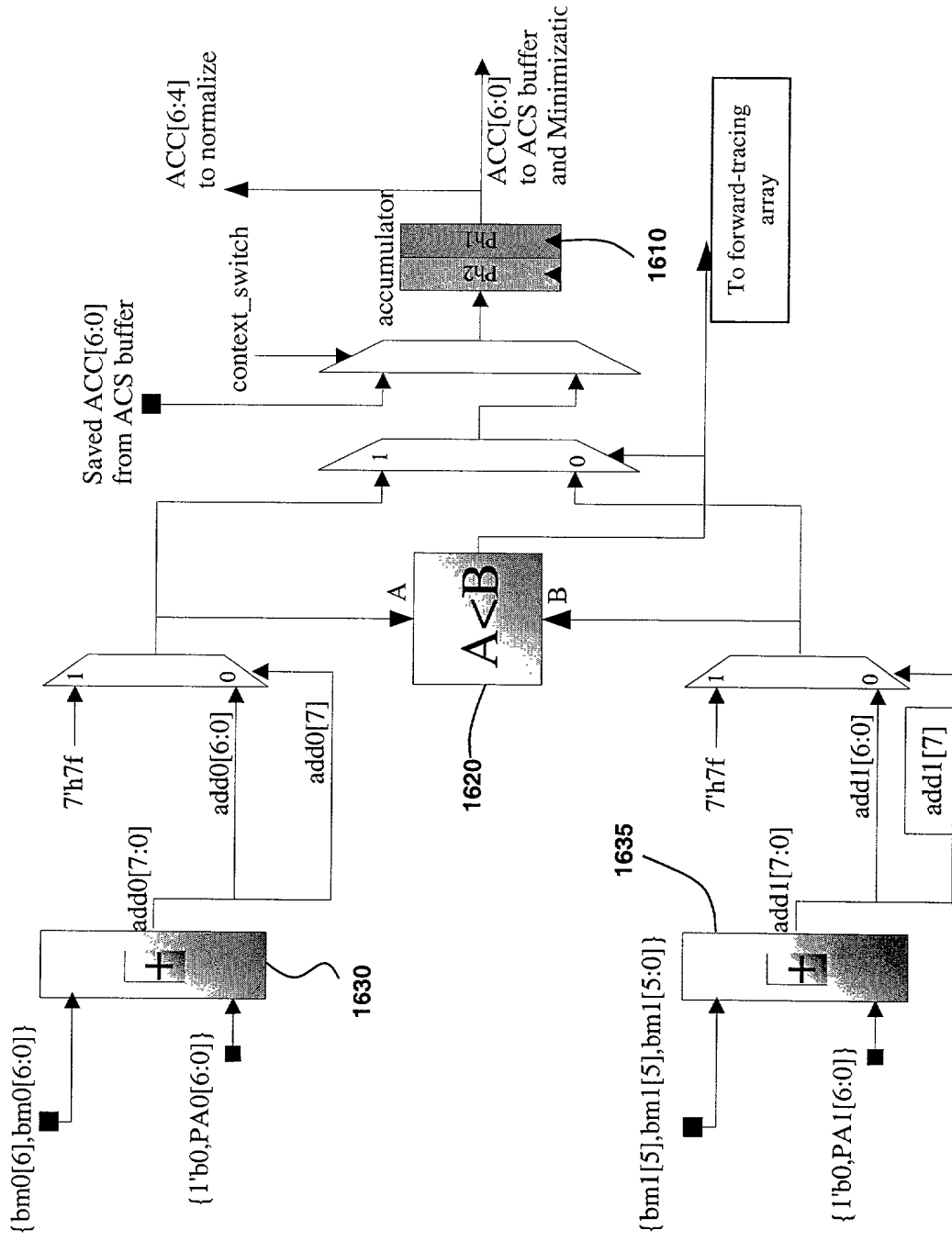


Fig. 16

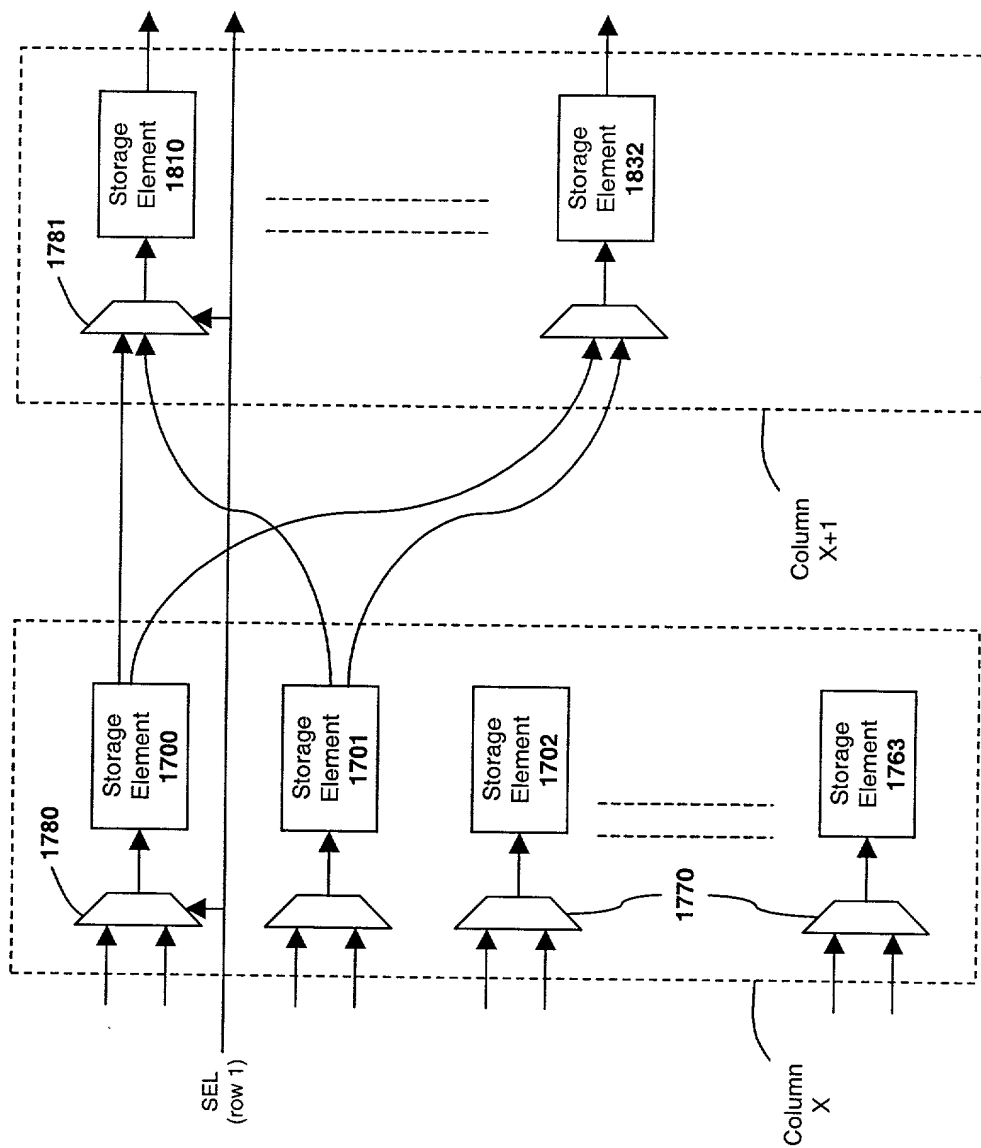


Fig. 17

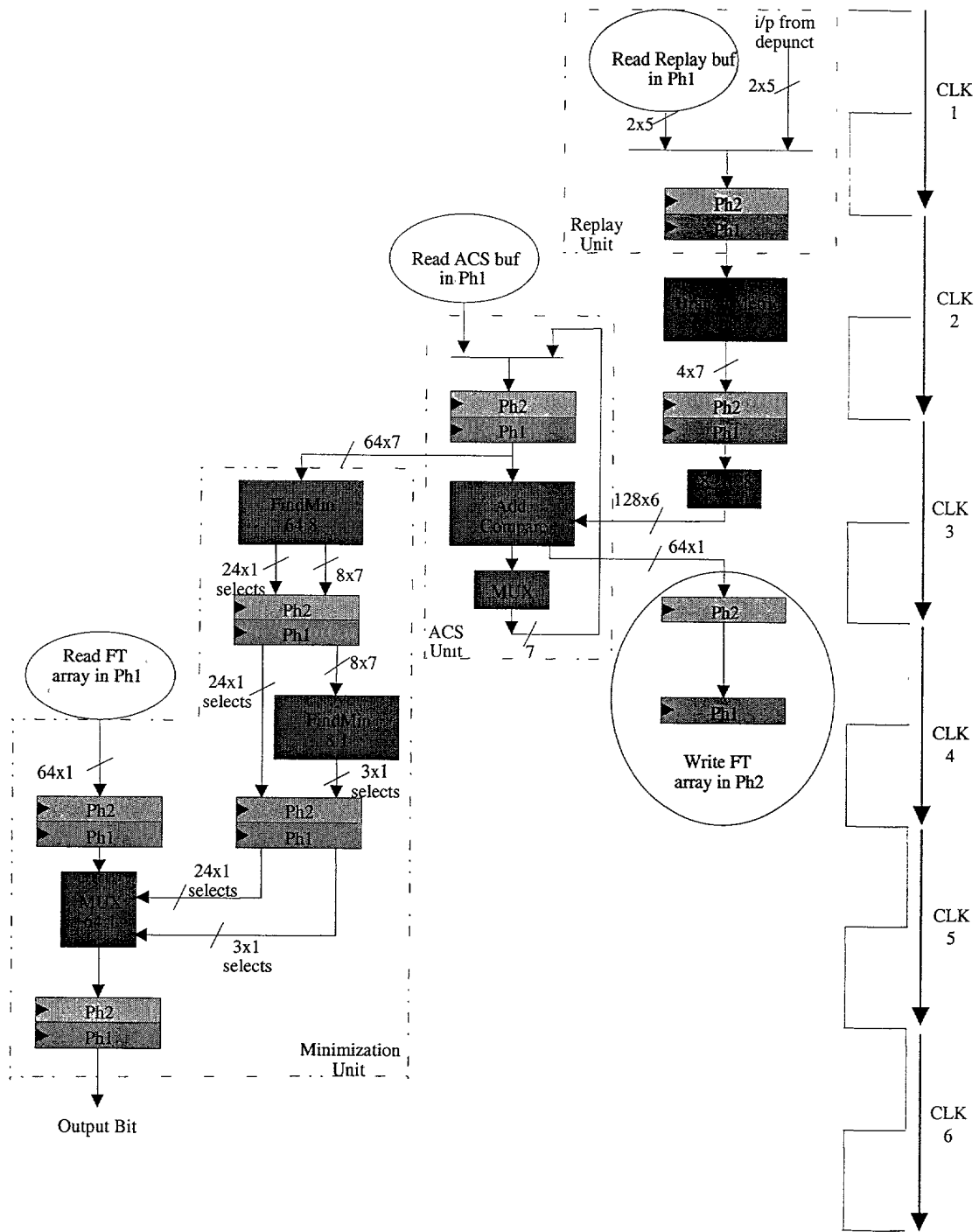


Fig. 18



FIG. 150 2455550

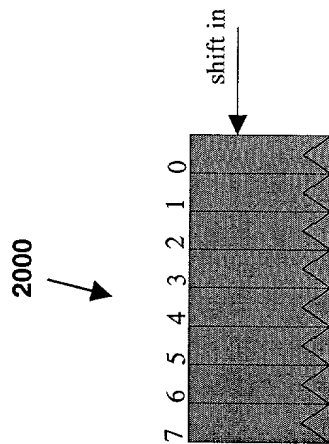
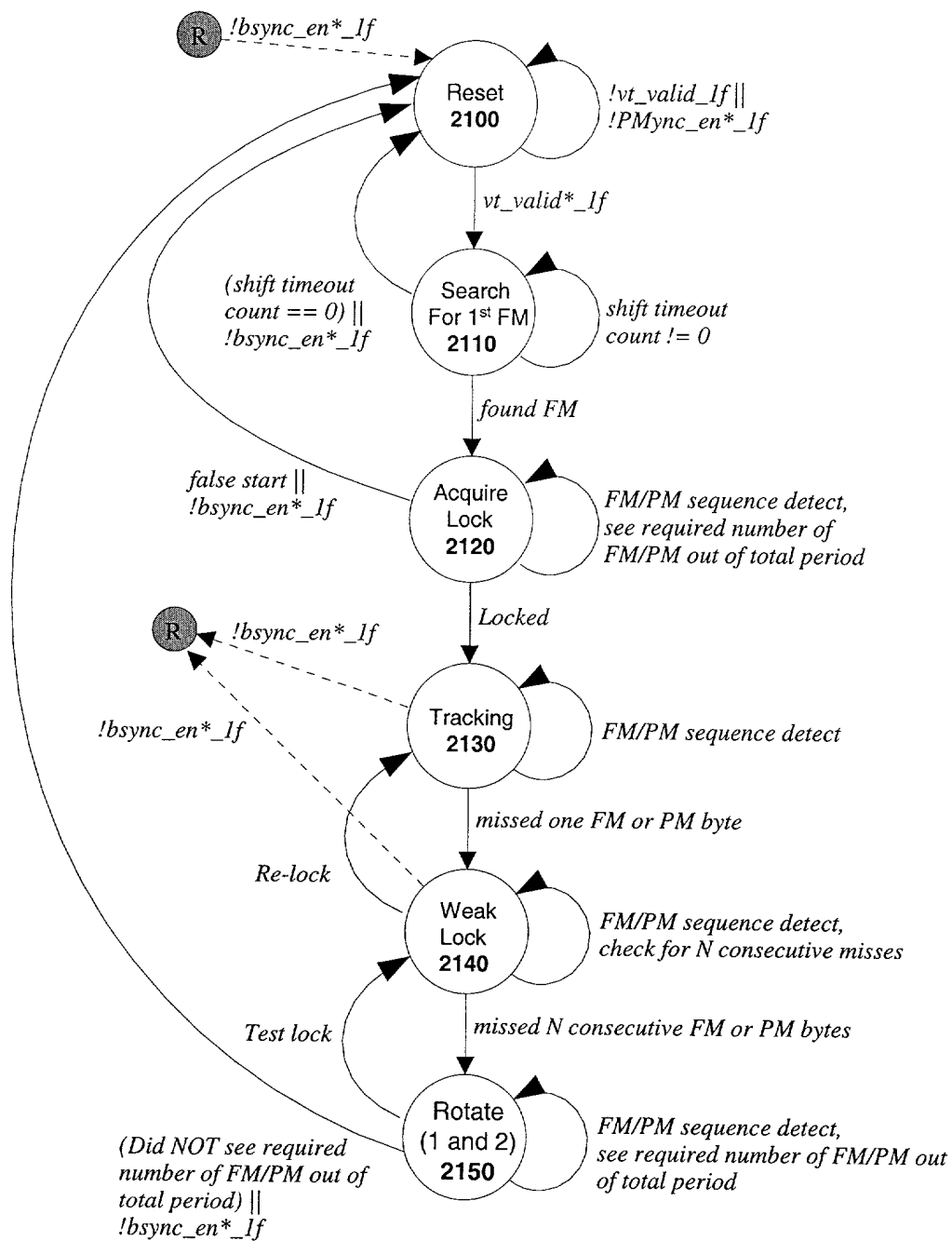


Fig. 20





**Fig. 21**

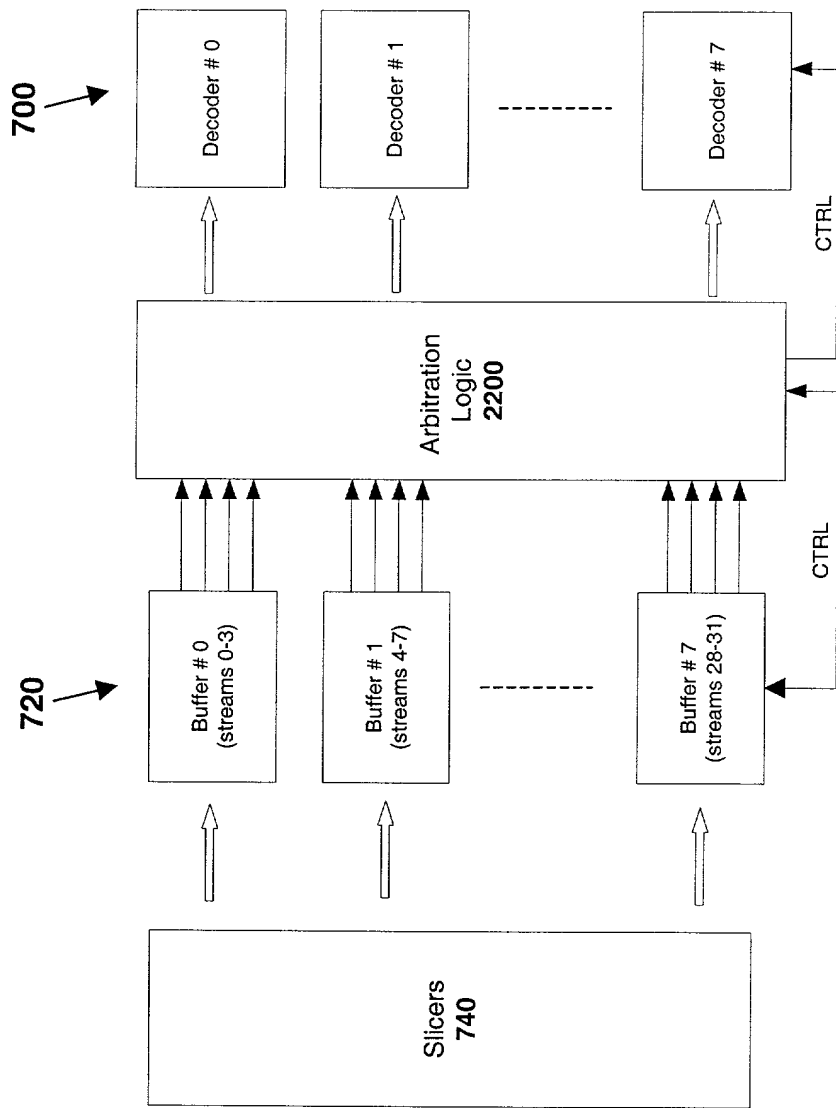


Fig. 22

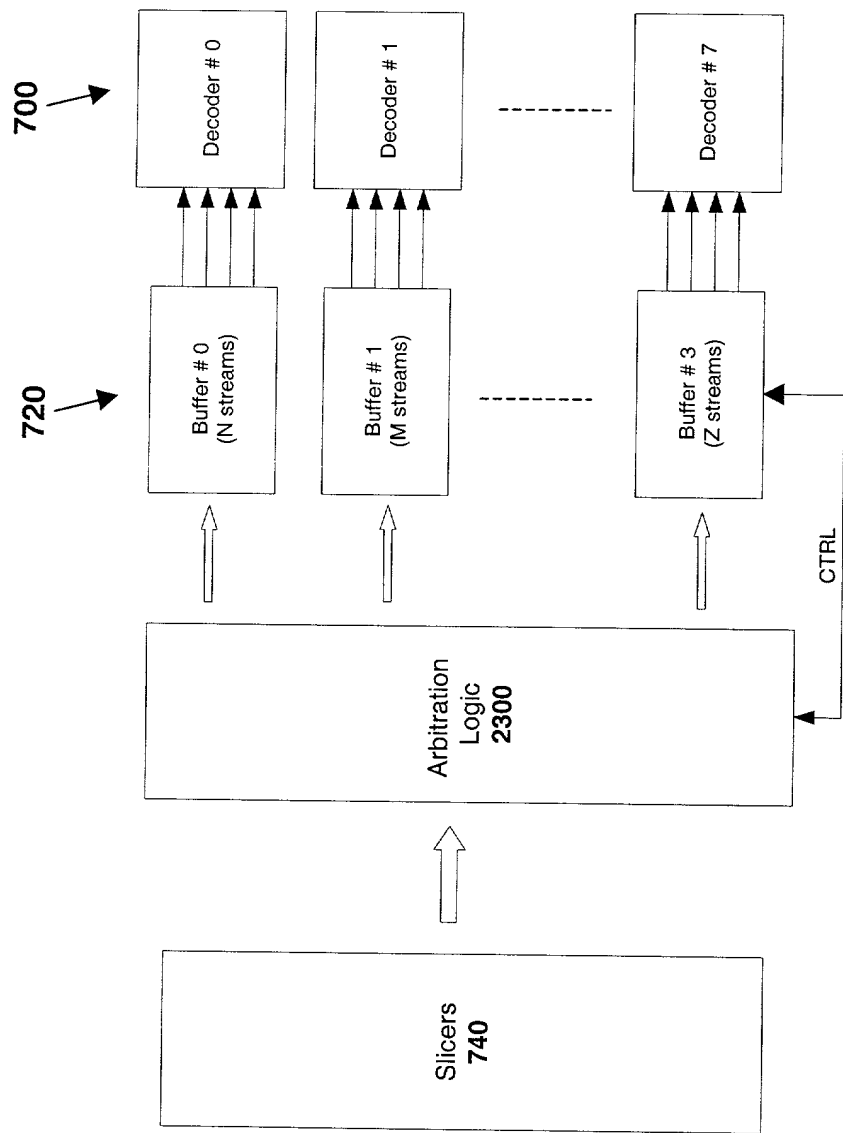


Fig. 23

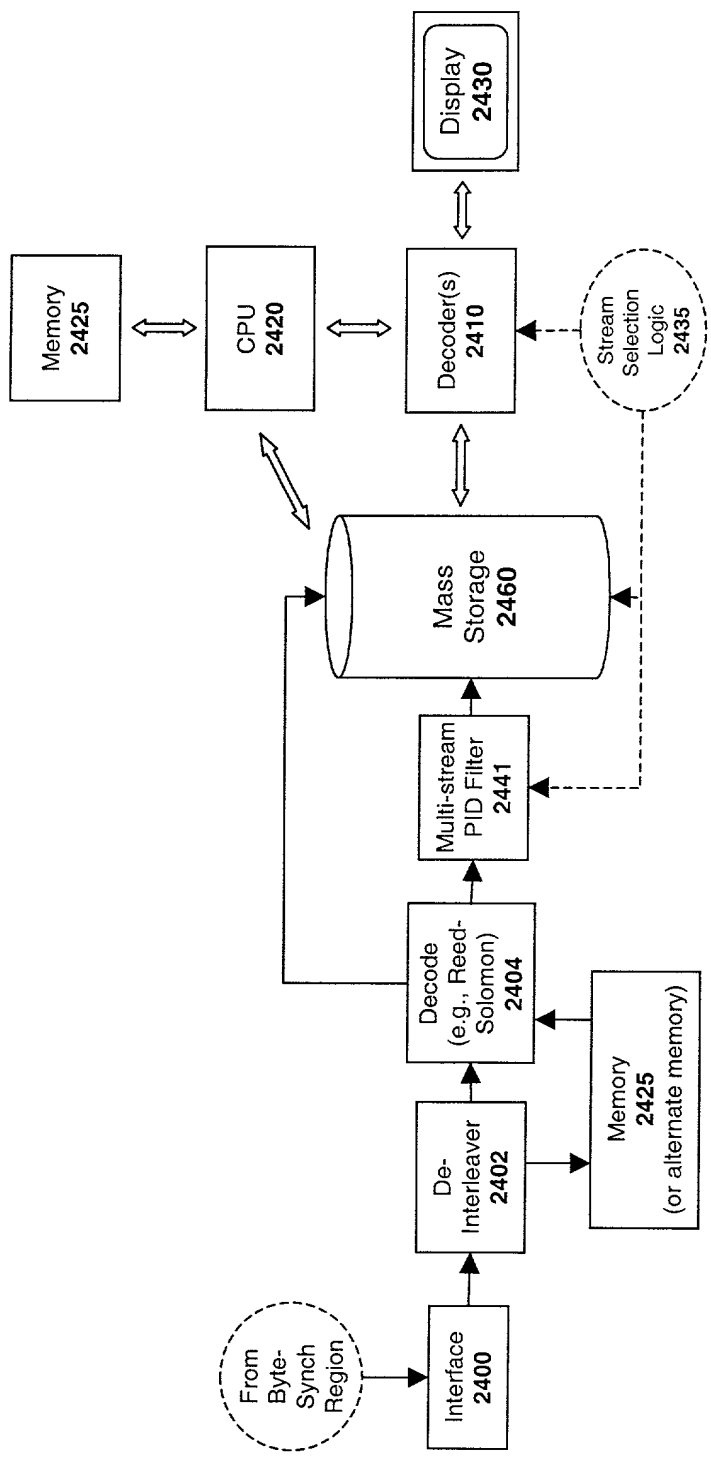


Fig. 24